

CHAINE D'ENERGIE D'UN SCOOTER

A. Schéma technologique de la chaîne :

1°- Voir document à rendre 1/2 et le document à rendre 2/2

2°- La roue arrière ne glisse pas sur le sol \Rightarrow vitesse du scooter $V = R_{\text{roue}} \omega_{\text{roue}}$

$$\text{Avec} \quad \frac{\omega_{\text{roue}}}{\omega_{\text{vilebrequin}}} = \frac{R_1}{R_2} \cdot \frac{Z_{10} \cdot Z_{12}}{Z_{11} \cdot Z_{13}}$$

$$\text{Et} \quad \omega_{\text{vilebrequin}} = \frac{\pi N_{\text{vilebrequin}}}{30}$$

$$V = (R_{\text{roue}} 10^{-6}) \frac{R_1}{R_2} \cdot \frac{Z_{10} \cdot Z_{12}}{Z_{11} \cdot Z_{13}} \cdot \left(\frac{\pi N_{\text{vilebrequin}}}{30} \cdot 3600 \right) \text{ en } \left(\frac{\text{km}}{\text{h}} \right)$$

$R_{\text{roue}}, R_1 \text{ et } R_2$ en (mm); $N_{\text{vilebrequin}}$ en $\left(\frac{\text{tr}}{\text{min}} \right)$

3°- Application numérique :

* $N_{\text{vilebrequin}} = 5600 \text{ tr/min}, R_{\text{roue}} = 37,5 \text{ mm}, R_1 = 107,1 \text{ mm} : V = 12,7 \text{ (km/h)}$

* $N_{\text{vilebrequin}} = 6000 \text{ tr/min}, R_{\text{roue}} = 37,5 \text{ mm}, R_1 = 107,1 \text{ mm} : V = 14,3 \text{ (km/h)}$

* $N_{\text{vilebrequin}} = 6700 \text{ tr/min}, R_{\text{roue}} = 37,5 \text{ mm}, R_1 = 107,1 \text{ mm} : V = 16,0 \text{ (km/h)}$

B. Equilibrage du système (piston, bielle, vilebrequin) :

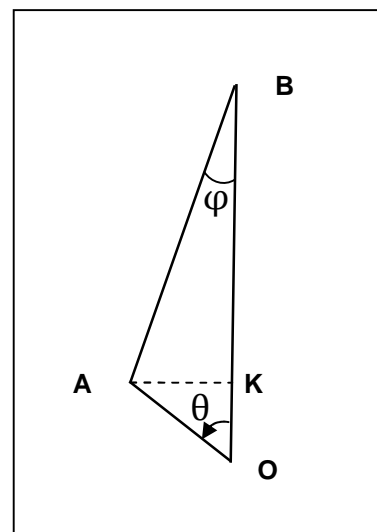
4°-

$$\begin{cases} AK = AB \sin \varphi = OA \sin \theta \\ OB = OA \cos \theta + AB \cos \varphi \end{cases}$$

$$\text{avec } OA = e, \quad AB = L, \quad OB = x(t)$$

D'où :

$$\begin{cases} \sin \varphi = \frac{e \sin \theta}{L} \\ x(t) = e \cos \theta + L \sqrt{1 - \left(\frac{e \sin \theta}{L} \right)^2} \end{cases}$$



5°-

$$x(t) = e \cos \theta + L \left(1 - \left(\frac{e \sin \theta}{L} \right)^2 \right)^{\frac{1}{2}} \cong e \cos \theta + L \left(1 - \frac{1}{2} \left(\frac{e \sin \theta}{L} \right)^2 \right)$$

$$\boldsymbol{x}(t) \cong e \cos \theta + L - \frac{e^2}{2L} \sin^2 \theta$$

6°- $\overrightarrow{V_{(A/0)}} = \left[\frac{d}{dt} \overrightarrow{OA} \right]_{R_0}$ avec $\overrightarrow{OA} = e \vec{x}_1$ et $\theta = \omega_{v\text{il}} t$

$$\overrightarrow{V_{(A/0)}} = e \dot{\theta} \vec{y}_1 = e \omega_{v\text{il}} \vec{y}_1$$

$$\overrightarrow{V_{(B/0)}} = \left[\frac{d}{dt} \overrightarrow{OB} \right]_{R_0} \quad \text{avec} \quad \overrightarrow{OB} = x(t) \vec{x}_0 = \left(e \cos \theta + L - \frac{e^2}{2L} \sin^2 \theta \right) \vec{x}_0$$

$$\overrightarrow{V_{(B/0)}} = (-e \omega_{v\text{il}} \sin \theta - \frac{e^2}{L} \omega_{v\text{il}} \cos \theta \sin \theta) \vec{x}_0$$

$$\overrightarrow{V_{(B/0)}} = -e \omega_{v\text{il}} (\sin \theta + \frac{e}{2L} \sin 2\theta) \vec{x}_0$$

$$\overrightarrow{\gamma_{(A/0)}} = e \omega_{v\text{il}} (-\omega_{v\text{il}} \vec{x}_1) = -e \omega_{v\text{il}}^2 \vec{x}_1 \quad \overrightarrow{\gamma_{(A/0)}} = -e \omega_{v\text{il}}^2 \vec{x}_1$$

$$\overrightarrow{\gamma_{(B/0)}} = -e \omega_{v\text{il}} (\omega_{v\text{il}} \cos \theta + \frac{e}{2L} (2 \omega_{v\text{il}} \cos 2\theta)) \vec{x}_0$$

$$\overrightarrow{\gamma_{(B/0)}} = -e \omega_{v\text{il}}^2 (\cos \theta + \frac{e}{L} \cos 2\theta) \vec{x}_0$$

7°- Principe fondamental de la dynamique appliqué à l'ensemble (m_1, m_A, m_B) :

$$\{0 \rightarrow 1\} + \{0 \rightarrow 3\} = \left\{ \begin{matrix} m_1 \overrightarrow{\gamma_{(O/R_0)}} \\ \vec{0} \end{matrix} \right\}_O + \left\{ \begin{matrix} m_A \overrightarrow{\gamma_{(A/R_0)}} \\ \vec{0} \end{matrix} \right\}_A + \left\{ \begin{matrix} m_B \overrightarrow{\gamma_{(B/R_0)}} \\ \vec{0} \end{matrix} \right\}_B$$

(Le moment dynamique d'une masse ponctuelle en son centre est nul)

$$\begin{aligned} \left\{ \begin{matrix} X_{01} \vec{x}_0 + Y_{01} \vec{y}_0 + Z_{01} \vec{z}_0 \\ Mx_{01} \vec{x}_0 + My_{01} \vec{y}_0 \end{matrix} \right\}_O + \left\{ \begin{matrix} Y_{03} \vec{y}_0 + Z_{03} \vec{z}_0 \\ My_{03} \vec{y}_0 + Mz_{03} \vec{z}_0 \end{matrix} \right\}_B \\ = \left\{ \begin{matrix} \vec{0} \\ \vec{0} \end{matrix} \right\}_O + \left\{ \begin{matrix} -e m_A \omega_{v\text{il}}^2 \vec{x}_1 \\ \vec{0} \end{matrix} \right\}_A + \left\{ \begin{matrix} -e m_B \omega_{v\text{il}}^2 (\cos \theta + \frac{e}{L} \cos 2\theta) \vec{x}_0 \\ \vec{0} \end{matrix} \right\}_B \end{aligned}$$

$$\vec{x}_0 \cdot TRD \Rightarrow X_{01} = -e m_A \omega_{vil}^2 \cos \theta - e m_B \omega_{vil}^2 (\cos \theta + \frac{e}{L} \cos 2\theta)$$

$$\vec{y}_0 \cdot TRD \Rightarrow Y_{01} + Y_{03} = -e m_A \omega_{vil}^2 \sin \theta$$

8°- $X = X_{01}$ $Y = (Y_{01} + Y_{03})$

$$\overrightarrow{V_{(K/0)}} = -d\omega_{vil} \vec{y}_1$$

$$\overrightarrow{\gamma_{(K/0)}} = +d\omega_{vil}^2 \vec{x}_1 \quad \text{donc sans refaire les calculs on ajoute le torseur } \left\{ \begin{array}{l} +d m_K \omega_{vil}^2 \vec{x}_1 \\ \vec{0} \end{array} \right\}_K$$

$$\left\{ \begin{array}{l} X_{01} \vec{x}_0 + Y_{01} \vec{y}_0 + Z_{01} \vec{z}_0 \\ Mx_{01} \vec{x}_0 + My_{01} \vec{y}_0 \end{array} \right\}_O + \left\{ \begin{array}{l} Y_{03} \vec{y}_0 + Z_{03} \vec{z}_0 \\ My_{03} \vec{y}_0 + Mz_{03} \vec{z}_0 \end{array} \right\}_B$$

$$= \left\{ \begin{array}{l} \vec{0} \\ \vec{0} \end{array} \right\}_O + \left\{ \begin{array}{l} +d m_K \omega_{vil}^2 \vec{x}_1 \\ \vec{0} \end{array} \right\}_K + \left\{ \begin{array}{l} -e m_A \omega_{vil}^2 \vec{x}_1 \\ \vec{0} \end{array} \right\}_A + \left\{ \begin{array}{l} -e m_B \omega_{vil}^2 (\cos \theta + \frac{e}{L} \cos 2\theta) \vec{x}_0 \\ \vec{0} \end{array} \right\}_B$$

$$X = (d m_K - e m_A) \omega_{vil}^2 \cos \theta - e m_B \omega_{vil}^2 (\cos \theta + \frac{e}{L} \cos 2\theta)$$

$$Y = (d m_K - e m_A) \omega_{vil}^2 \sin \theta$$

9°- X et Y ne peuvent être rendus constants, pour minimiser leurs amplitudes on doit :

- Choisir (d) et (m_K) de façon à annuler le terme $(d m_K - e m_A)$
- Minimiser l'excentricité (e) et la masse $m_B = (m_3 + \frac{1}{3} m_2)$ c'est-à-dire minimiser la masse du piston (3) et de la bielle (2).

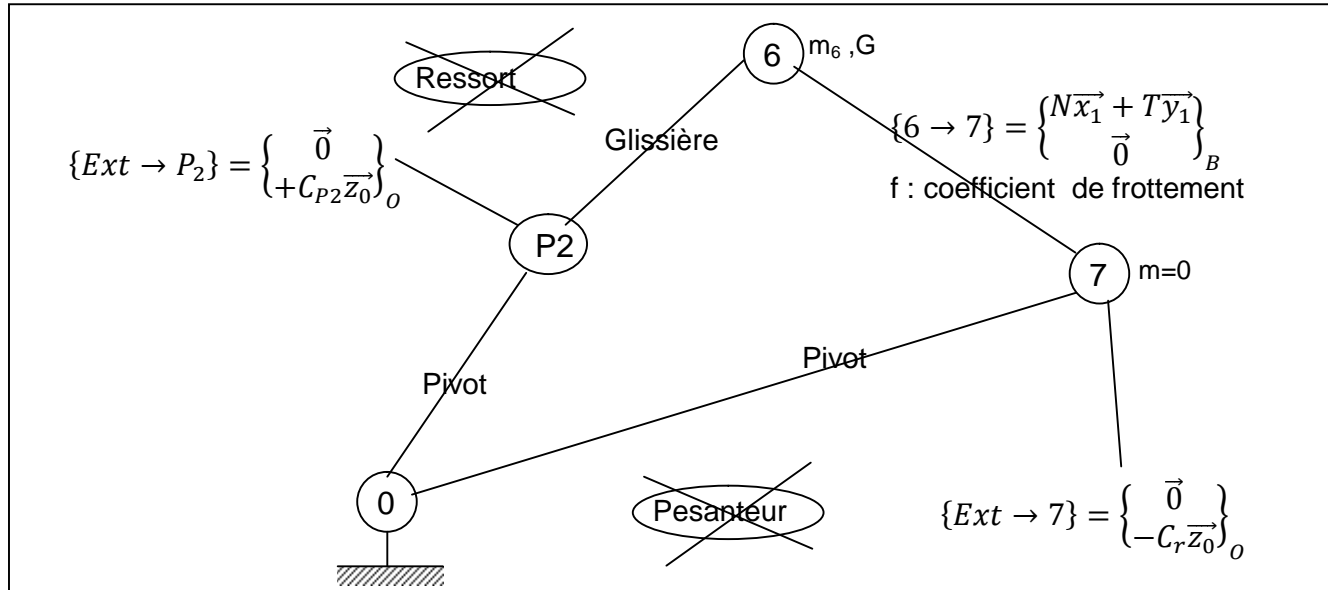
Ainsi on aura : $X = -e m_B \omega_{vil}^2 (\cos \theta + \frac{e}{L} \cos 2\theta)$

$$Y = 0$$

Remarque : il existe d'autres solutions qui permettent d'annuler (X) aussi.

C. Embrayage centrifuge :

10°- Graphe d'analyse dynamique :



11°- PFD appliqué à (6) : $\{P_2 \rightarrow 6\} + \{7 \rightarrow 6\} = \left\{ \begin{array}{c} m_6 \overrightarrow{\gamma_{(G/R_0)}} \\ \vec{\delta}_G (6/R_0) \end{array} \right\}_G$

$$\overrightarrow{V_{(G/0)}} = L\dot{\theta}\overrightarrow{y_1}$$

$$\overrightarrow{\gamma_{(G/0)}} = L\ddot{\theta}\overrightarrow{y_1} - L\dot{\theta}^2\overrightarrow{x_1}$$

$$\left\{ \begin{array}{c} Y_{26}\overrightarrow{y_1} + Z_{26}\overrightarrow{z_0} \\ Mx_{26}\overrightarrow{x_1} + My_{26}\overrightarrow{y_1} + Mz_{26}\overrightarrow{z_0} \end{array} \right\}_A + \left\{ \begin{array}{c} -N\overrightarrow{x_1} - T\overrightarrow{y_1} \\ \overrightarrow{0} \end{array} \right\}_B = \left\{ \begin{array}{c} m_6(L\ddot{\theta}\overrightarrow{y_1} - L\dot{\theta}^2\overrightarrow{x_1}) \\ \vec{\delta}_G (6/R_0) \end{array} \right\}_G$$

$$\vec{x}_1 \cdot TRD \Rightarrow -N = -m_6 L\dot{\theta}^2 \quad \text{d'où} \quad N = m_6 L\dot{\theta}^2$$

12°- Non glissement de la masselotte (6) sur la cloche (7) $\Rightarrow T \leq fN \Rightarrow T \leq f m_6 L\dot{\theta}^2$

13°- PFD appliqué à (7) : $\{Ext \rightarrow 7\} + \{0 \rightarrow 7\} + \{6 \rightarrow 7\} = \left\{ \begin{array}{c} \overrightarrow{0} \\ \overrightarrow{0} \end{array} \right\}_O$ (la masse de (7) est nulle)

$$\left\{ \begin{array}{c} \overrightarrow{0} \\ -C_r \overrightarrow{z_0} \end{array} \right\}_O + \left\{ \begin{array}{c} X_{07}\overrightarrow{y_0} + Y_{07}\overrightarrow{y_0} + Z_{07}\overrightarrow{z_0} \\ Mx_{07}\overrightarrow{x_0} + My_{07}\overrightarrow{y_0} \end{array} \right\}_O + \left\{ \begin{array}{c} N\overrightarrow{x_1} + T\overrightarrow{y_1} \\ \overrightarrow{0} \end{array} \right\}_B = \left\{ \begin{array}{c} \overrightarrow{0} \\ \overrightarrow{0} \end{array} \right\}_O$$

$$\vec{M}_O = \vec{0} + \vec{OB} \wedge (N\overrightarrow{x_1} + T\overrightarrow{y_1}) = RT\overrightarrow{z_0}$$

$$\vec{z}_0 \cdot TMD \Rightarrow -C_r + RT = 0 \Rightarrow C_r = RT \quad \text{et pour (n) masselottes } C_r = nRT$$

$$14^\circ - \frac{c_r}{nR} \leq f m_6 L \dot{\theta}^2 \quad m_6 \geq \frac{c_r}{f n R L \dot{\theta}^2}$$

Application numérique : $m_6 \geq 0,1709 \text{ (kg)} \Rightarrow m_6 \geq 170,9 \text{ (g)}$

D. Estimation du couple moteur nécessaire au fonctionnement :

$$15^\circ - Ec\left(\frac{S}{R_0}\right) = \frac{1}{2} J_{éléments tournants} \omega^2_{vilebrequin} + \frac{1}{2} M \dot{x}^2$$

Avec $k = \frac{\omega_{roue}}{\omega_{vilebrequin}}$

et (*non glissement de la roue arrière*) $\Rightarrow \dot{x} = R_{roue} \omega_{roue}$

$$\Rightarrow \omega_{vilebrequin} = \frac{\dot{x}}{k R_{roue}}$$

$$\Rightarrow Ec\left(\frac{S}{R_0}\right) = \frac{1}{2} J_{éléments tournants} \frac{\dot{x}^2}{k^2 R_{roue}^2} + \frac{1}{2} M \dot{x}^2$$

$$\Rightarrow Ec\left(\frac{S}{R_0}\right) = \frac{1}{2} \left(\frac{J_{éléments tournants}}{k^2 R_{roue}^2} + M \right) \dot{x}^2$$

16°- Théorème de l'énergie cinétique appliqué à (S) :

$$\frac{d}{dt} Ec\left(\frac{S}{R_0}\right) = P(pasanteur \rightarrow \frac{S}{R_0}) + P(moteur \rightarrow \frac{S}{R_0}) + P(air \rightarrow \frac{S}{R_0})$$

$$P(pasanteur \rightarrow \frac{S}{R_0}) = \left\{ \begin{matrix} -Mg\vec{y}_0 \\ \vec{0} \end{matrix} \right\}_G \left\{ \begin{matrix} \vec{0} \\ \dot{x} \vec{x}_1 \end{matrix} \right\}_G = -Mg\dot{x} \sin \alpha \quad (\text{Le poids est résistant})$$

$$P(gaz brûlés \rightarrow \frac{S}{R_0}) = C_{vilebrequin} \omega_{vilebrequin} \quad (\text{Puissance motrice})$$

$$P(air \rightarrow \frac{S}{R_0}) = \left\{ \begin{matrix} -0,3 \dot{x}^2 \vec{x}_1 \\ ... \end{matrix} \right\}_G \left\{ \begin{matrix} \vec{0} \\ \dot{x} \vec{x}_1 \end{matrix} \right\}_G = -0,3 \dot{x}^3 \quad (\text{Action de l'air résistante})$$

$$\Rightarrow \frac{1}{2} \left(\frac{J_{éléments tournants}}{k^2 R_{roue}^2} + M \right) 2\dot{x}\ddot{x} = -Mg\dot{x} \sin \alpha + C_{vilebrequin} \omega_{vilebrequin} - 0,3 \dot{x}^3$$

$$\Rightarrow \left(\frac{J_{éléments tournants}}{k^2 R_{roue}^2} + M \right) \dot{x}\ddot{x} = -Mg\dot{x} \sin \alpha + C_{vilebrequin} \frac{\dot{x}}{k R_{roue}} - 0,3 \dot{x}^3$$

$$\Rightarrow C_{vilebrequin} = k R_{roue} \left[\left(\frac{J_{éléments tournants}}{k^2 R_{roue}^2} + M \right) \dot{x} + Mg \sin \alpha + 0,3 \dot{x}^2 \right]$$

Application numérique :

$$* \dot{x} = 15 \text{ km/h} \text{ et } \ddot{x} = 0 \text{ m/s}^2 \quad C_{vil} = 2,03 (\text{mN})$$

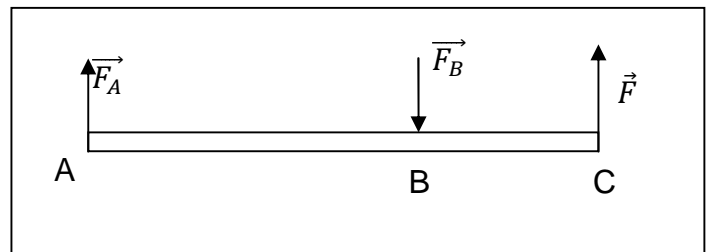
$$* \dot{x} = 15 \text{ km/h} \text{ et } \ddot{x} = 0,8 \text{ m/s}^2 \quad C_{vil} = 4,32 (\text{mN})$$

E. Résistance et montage de l'axe de roue arrière :

17°- Equilibre de la poutre :

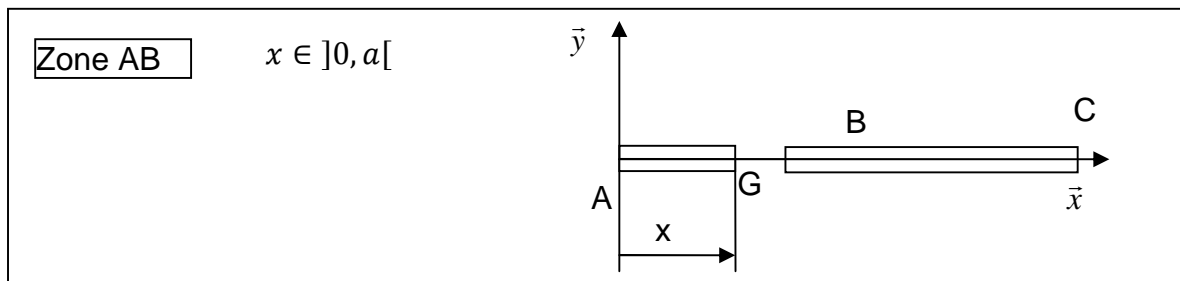
$$\left\{ \begin{matrix} F_A \vec{y} \\ 0 \end{matrix} \right\}_A + \left\{ \begin{matrix} -F_B \vec{y} \\ 0 \end{matrix} \right\}_B + \left\{ \begin{matrix} F \vec{y} \\ 0 \end{matrix} \right\}_C = \left\{ \begin{matrix} 0 \\ 0 \end{matrix} \right\}$$

$$\left\{ \begin{matrix} F_A \vec{y} \\ 0 \end{matrix} \right\}_A + \left\{ \begin{matrix} -F_B \vec{y} \\ -a F_B \vec{z} \end{matrix} \right\}_A + \left\{ \begin{matrix} F \vec{y} \\ L F \vec{z} \end{matrix} \right\}_A = \left\{ \begin{matrix} 0 \\ 0 \end{matrix} \right\}$$



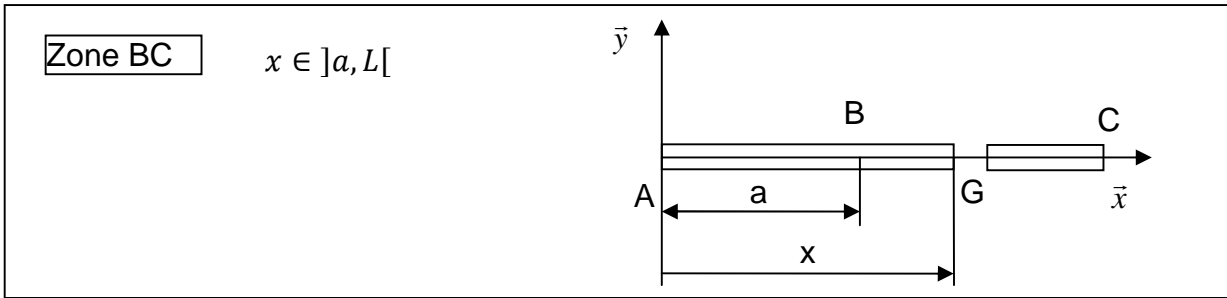
$$F_B = \frac{L}{a} F \quad \text{et} \quad F_A = \left(\frac{L}{a} - 1 \right) F = \frac{(L-a)}{a} F$$

18°-



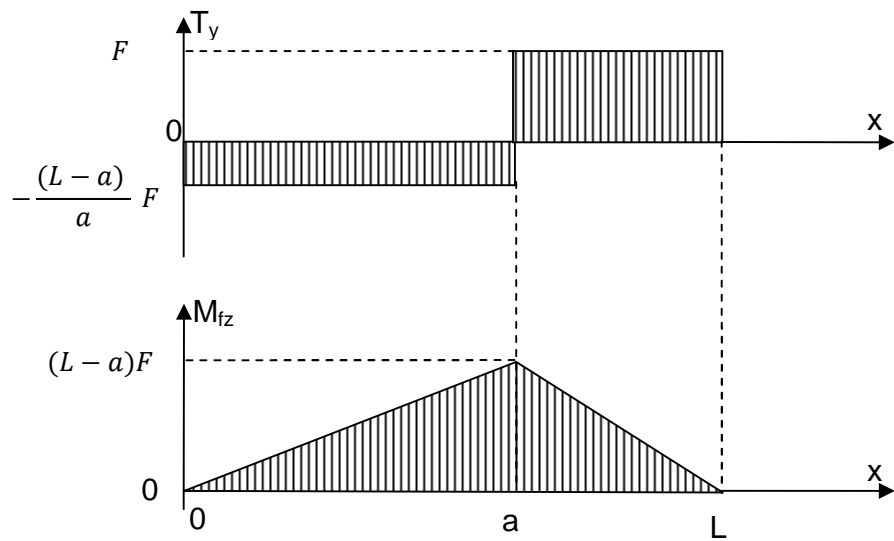
$$\{\tau_{coh}\}_G = - \left\{ \begin{matrix} F_A \vec{y} \\ 0 \end{matrix} \right\}_A = \left\{ \begin{matrix} -F_A \vec{y} \\ \overrightarrow{GA} \wedge (-F_A \vec{y}) \end{matrix} \right\}_G = \left\{ \begin{matrix} -F_A \vec{y} \\ x F_A \vec{z} \end{matrix} \right\}_G = \left\{ \begin{matrix} -\frac{(L-a)}{a} F \vec{y} \\ \frac{(L-a)}{a} F x \vec{z} \end{matrix} \right\}_G =$$

$$\left\{ \begin{array}{ll} N = \mathbf{0} & M_t = \mathbf{0} \\ T_y = -\frac{(L-a)}{a} F & M_{fy} = \mathbf{0} \\ T_z = \mathbf{0} & M_{fz} = \frac{(L-a)}{a} F x \end{array} \right\}_G$$



$$\{\tau_{coh}\}_G = + \left\{ \begin{matrix} F\vec{y} \\ \vec{0} \end{matrix} \right\}_G = \left\{ \frac{F\vec{y}}{\overrightarrow{GC} \wedge (F\vec{y})} \right\}_G = \left\{ F \begin{matrix} \vec{y} \\ (L-x)\vec{z} \end{matrix} \right\}_G = \left\{ \begin{matrix} N = \mathbf{0} \\ T_y = F \\ T_z = 0 \end{matrix} \quad \begin{matrix} M_t = \mathbf{0} \\ M_{fy} = \mathbf{0} \\ M_{fz} = F(L-x) \end{matrix} \right\}_G$$

19°- Tracé des éléments non nuls du torseur de cohésion :



20°- Condition de résistance en flexion de l'axe :

$$|\sigma_{maxi}| \leq \frac{\sigma_e}{s} \quad \Rightarrow \quad \frac{|M_{fzmaxi}|}{\frac{IG_z}{v}} \leq \frac{\sigma_e}{s} \quad \Rightarrow \quad \frac{(L-a)F}{\left(\frac{\pi d^4}{64}\right)} \leq \frac{\sigma_e}{s} \quad \Rightarrow \quad \frac{32(L-a)F}{\pi d^3} \leq \frac{\sigma_e}{s}$$

$$\Rightarrow d \geq \sqrt[3]{\frac{32(L-a)F s}{\pi \sigma_e}}$$

$d \geq 13,05 \text{ mm (flexion)}$

21°- Condition de résistance en torsion de l'axe :

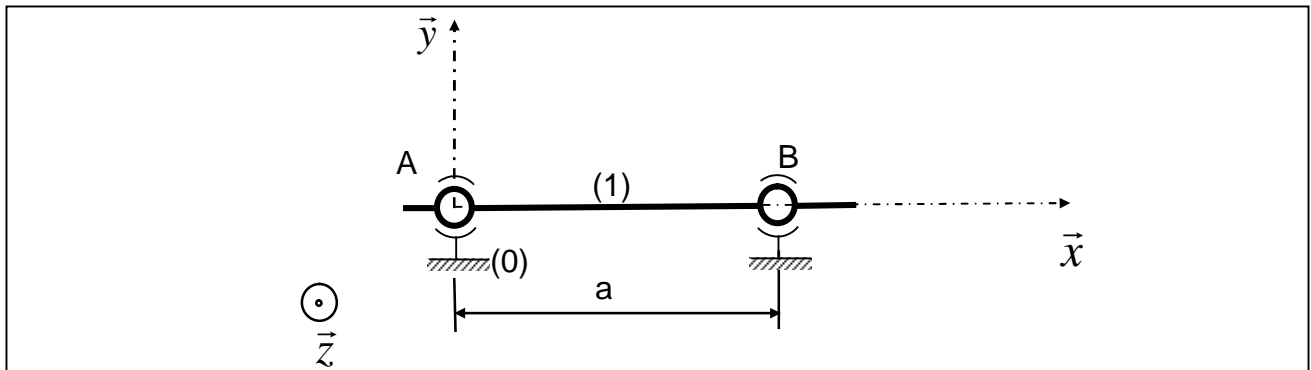
$$\tau_{maxi} \leq \frac{\tau_e}{s} \quad \Rightarrow \quad \frac{Mt}{\frac{IG}{v}} \leq \frac{\tau_e}{s} \quad \Rightarrow \quad \frac{C_{roue}}{\left(\frac{\pi d^4 / 32}{d/2}\right)} \leq \frac{\tau_e}{s} \quad \Rightarrow \quad \frac{16C_{roue}}{\pi d^3} \leq \frac{\tau_e}{s}$$

$$\Rightarrow d \geq \sqrt[3]{\frac{16 C_{roue} s}{\pi \tau_e}}$$

$$d \geq 20,33 \text{ mm (torsion)}$$

Nota : L'effet de la torsion est plus important sur l'arbre que celui de la flexion dans notre cas.

22°- Schéma cinématique :



- Etude statique : Liaisons en parallèle

$$\{\tau_{Equivalent}\} = \{\tau_{LiA}\}_A + \{\tau_{LiB}\}_B = \begin{pmatrix} X_A & 0 \\ Y_A & 0 \\ Z_A & 0 \end{pmatrix}_A + \begin{pmatrix} X_B & 0 \\ Y_B & 0 \\ Z_B & 0 \end{pmatrix}_B , \overrightarrow{M_A} = \overrightarrow{M_B} + \overrightarrow{AB} \wedge \begin{pmatrix} X_B & 0 \\ Y_B & 0 \\ Z_B & 0 \end{pmatrix}$$

$$\{\tau_{Equivalent}\} = \begin{pmatrix} X & M_x \\ Y & M_y \\ Z & M_z \end{pmatrix}_A = \begin{pmatrix} X_A + X_B & 0 \\ Y_A + Y_B & -aZ_B \\ Z_A + Z_B & aY_B \end{pmatrix}_A \Rightarrow \begin{cases} X = X_A + X_B \\ Y = Y_A + Y_B \\ Z = Z_A + Z_B \\ M_x = 0 \\ M_y = -aZ_B \\ M_z = aY_B \end{cases}$$

La liaison équivalente est donc une pivot d'axe (AB) dont l'une des deux inconnues X_A ou X_B est hyperstatique (car elle ne peut pas être déterminée dans le système d'équations ci-dessus). Cela se traduit par une incertitude des contacts dans la direction \vec{x} lors du montage.

- Le jeu (j) permet de palier à ce problème, on est donc sûr que les deux roulements ne sont pas **sur-contraints axialement** (roulements sur-contraints axialement → usure rapide). En plus il a un rôle de permettre une marge de dilatation de l'axe sous l'effet de l'échauffement.

Figure 1 : Phase de ralenti

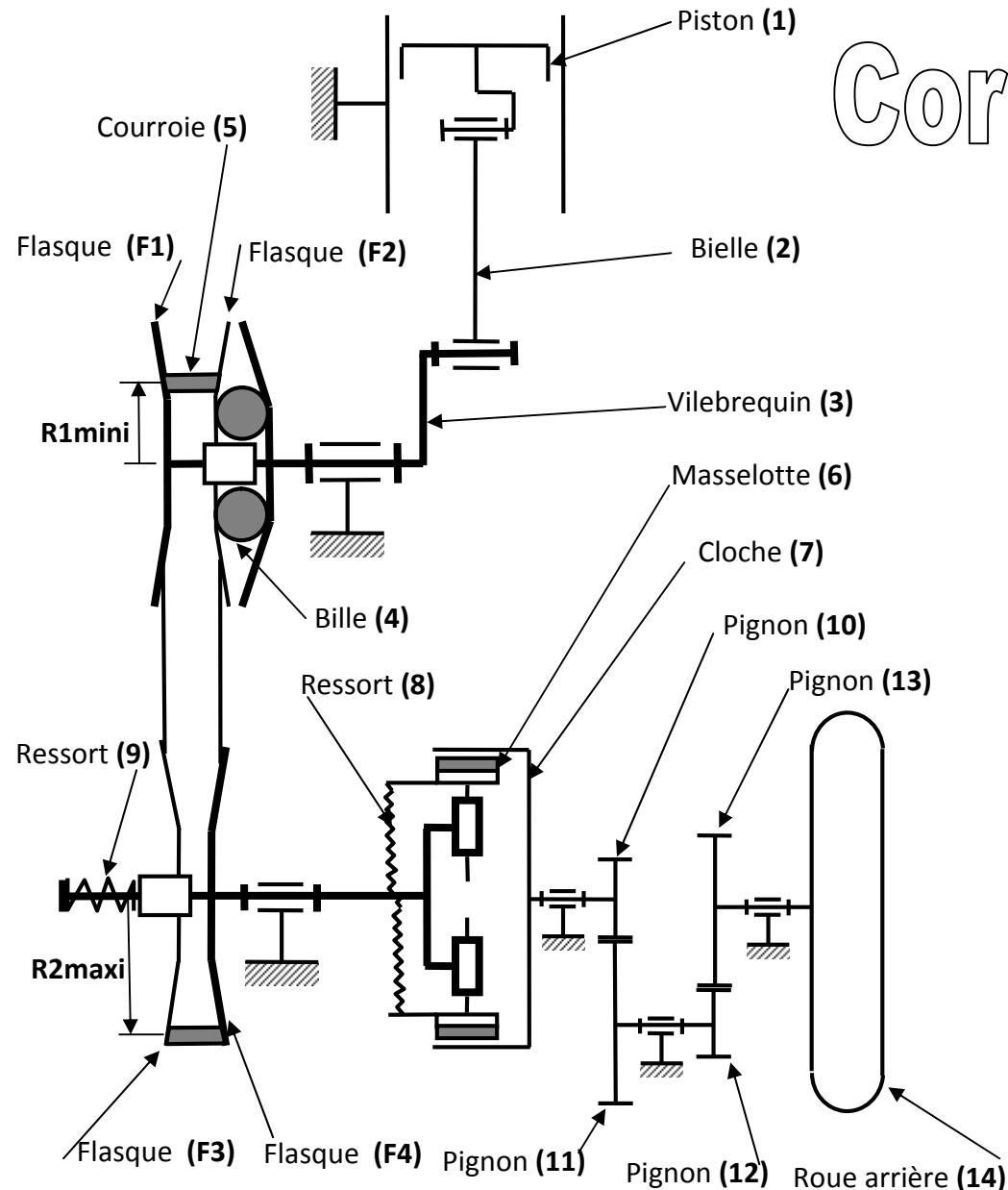
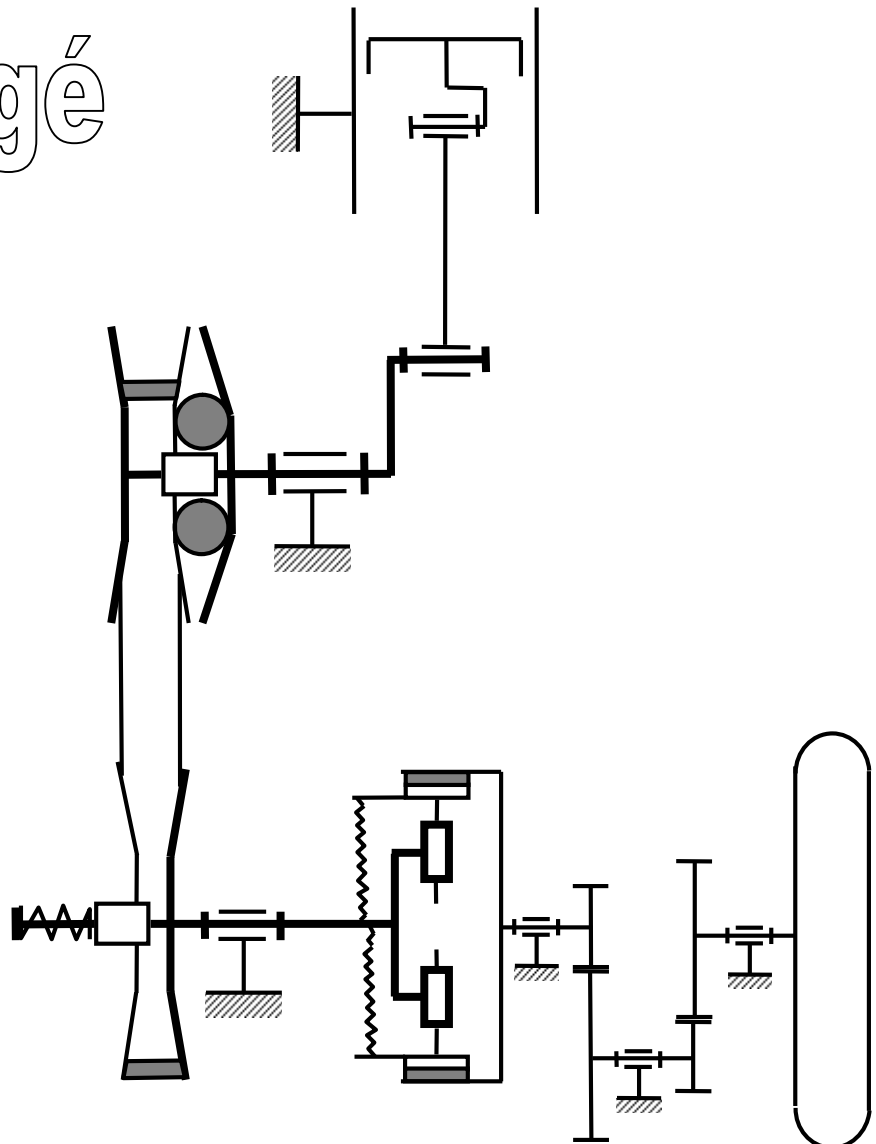
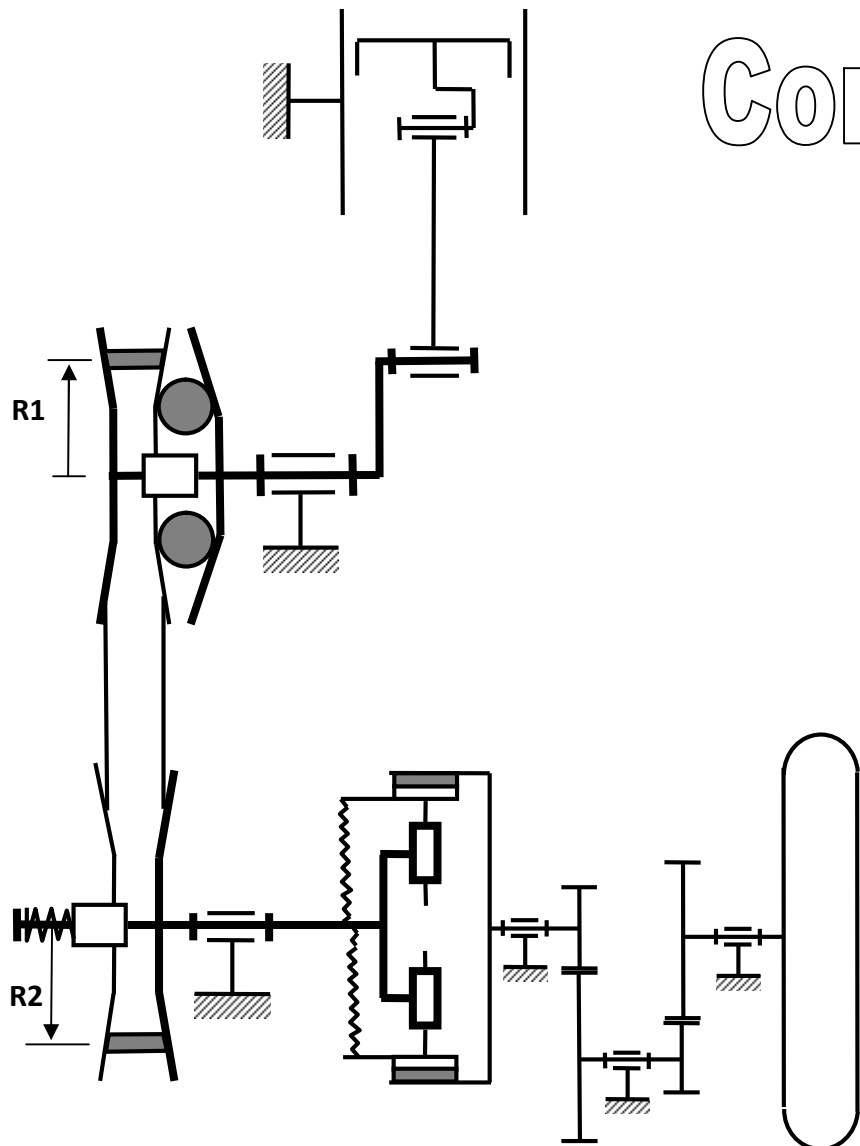


Figure 2 : Phase de glissement dans l'embrayage



Corrigé

Figure 3 : Phase de non glissement dans l'embrayage et variation des rayons des poulies du variateur à courroie



Corrigé

Figure 4 : Phase de vitesse maximale du scooter

